

Pm-Pk

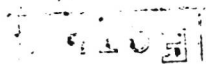
VIII 2684

1964

YPb_3 , EuPb_3 , TbPb_3 , DyPb_3 , HoPb_3 ,
 ErPb_3 , TmPb_3 , YbPb_3 (a, b, c)

Кузюма И.Б., Скалоцзра Р.В., Марков В.И.,
Докл. АН УССР, 1964, № 8, 1070-1072

Мд



РНЭХ, 1965, № 5Б312

La_5Pb_3 , Ce_5Pb_3 , Pr_5Pb_3 , Nd_5Pb_3 , 1966
 Gd_5Pb_3 , Hf_5Pb_3 , Dy_5Pb_3 , Ho_5Pb_3 ,
 Er_5Pb_3 , Tm_5Pb_3 , Lu_5Pb_3 . VIII 4047
(kryształy cięte - pg)

Paleozoika d, Forrasini M.L.
Atti. Accad. naz. Lincei ^{Rend.} Cl. sci.
fis., mat e nature

1966, 40, n° 6, 1040-1044

PK, 1967, 197353

Mn₃ / M = Gd, Tb, Dy, Ho, Er, Tm, Yb,

X = Lu, Eu, Sm;
Ho, Yb, Tl, Pb)

(species: ssp-pa)

1966
VIII 4336

Paleozona A.

J. Less-Common Metals,

1966, 10, N.Y., 290-292



PX, 1966, 205378 111

La Pb_3 , Ce Pb_3 , Pr Pb_3 , Nb Pb_3 , 1973
 Sm Pb_3 , Eu Pb_3 , Gd Pb_3 , Tb Pb_3 , Dy Pb_3
 Ho Pb_3 , Er Pb_3 , Tm Pb_3 , Yb Pb_3 (ΔH_f° , T_m , ΔH_f°)
Penzing A., Czajcic; S. VIII 5759

Thermochim. Acta, 1973, 6, NS, 455-460
Dynamic differential calorimetry of
intermetallic compounds. II. Heats of formation,
heats and entropies of fusion of rare earths-
lead (RE Pb_3)

Phil. 1974, 1974

16754

An 60 ⑩

XVIII-341

1974

La_{Sn}₃, Ce_{Sn}₃,
Pr_{Sn}₃, Nd_{Sn}₃, Sm_{Sn}₃, Eu_{Sn}₃, Gd_{Sn}₃, Yb_{Sn}₃,
La_{In}₃, Ce_{In}₃, Pr_{In}₃, La_{Pb}₃, Ce_{Pb}₃, Pr_{Pb}₃, Nd_{Pb}₃,
Sm_{Pb}₃, Eu_{Pb}₃, Gd_{Pb}₃, Tb_{Pb}₃, Dy_{Pb}₃, Ho_{Pb}₃, Er_{Pb}₃,
Tm_{Pb}₃, Yb_{Pb}₃, La_{Tl}₃, Ce_{Tl}₃, Pr_{Tl}₃Nd_{Tl}₃, Sm_{Tl}₃,
Gd_{Tl}₃, Tb_{Tl}₃, Dy_{Tl}₃Yb_{Tl}₃ (σ Hf, Tm, & Ho)

Patenzona A, Cizafici S.

Anal. Calorim. Vol. 3. New York-London, 1974,

743-756

CCPS Q-K

Dr. M

Tm_2SnSe_4

1991

24 Б3074 ДЕП. Система $SnSe-Tm_2Se_3$ / Гуршумов А. П., Аббасов К. Х., Вердиев Г. Д., Ализаде М. З.; Ин-т неорган. и физ. химии АН Азерб. Респ.— Баку, 1991.— 7 с.: ил. Библиогр.: 5 назв.— Рус. Рук. депонирована в ВИНИТИ 03.09.91, № 3634 — В91.

(Tm)

Методами ДТА, РФА, микроструктурного анализа, а также измерением микротвердости построена диаграмма состояния системы $SnSe-Tm_2Se_3$. Впервые обнаружено образование тройного соединения Tm_2SnSe_4 , плавящегося никонгруэнтно при $840^{\circ}C$. На основе $SnSe$ образуются ограниченные области тв. растворов.

X.1991, №24

Tm₅Sn₃

1999

Meschel S.V. et al.,

(1990) *g. Alloys Compd.* 1990,
d₂₈₅ (1-d), 179-184

(all · TmG₂; I)

1999

F: PbTe-TmTe

P: 1

130:257815 PbTe-TmTe system: phase diagram
and properties of phases. Rustamov, P. G.;
Abilov, Ch. I.; Mamedov, M. R. (Rasul-zade
State University, Baku 370148, Azerbaijan).
Inorg. Mater., 35(2), 113-114 (Eng 1999)

The PbTe-TmTe system was found to
contain two solid-soln. ranges based o the
constituent tellurides. Thermopower
measurements show that PbTe-base solns.
feature a high thermoelec. figure of merit.